

ANEXO I

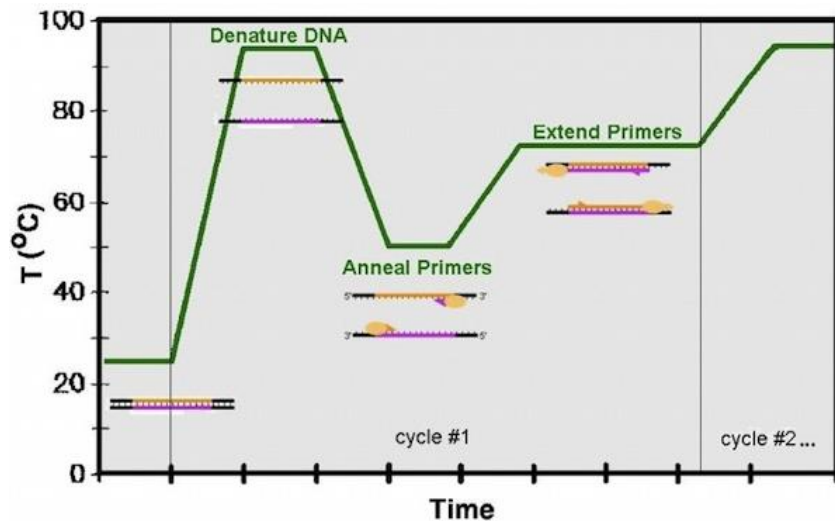


Figura 1. Esquema de programa de PCR en el termociclador (de la Puente, 2009)

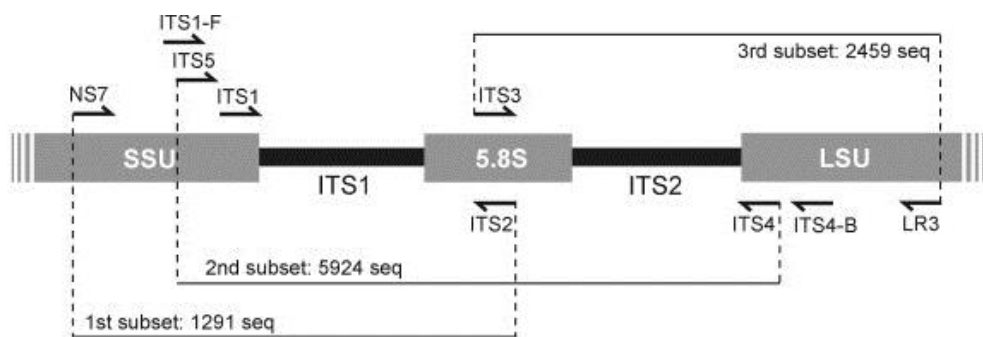


Figura 2. Disposición de rDNA eucariótico.

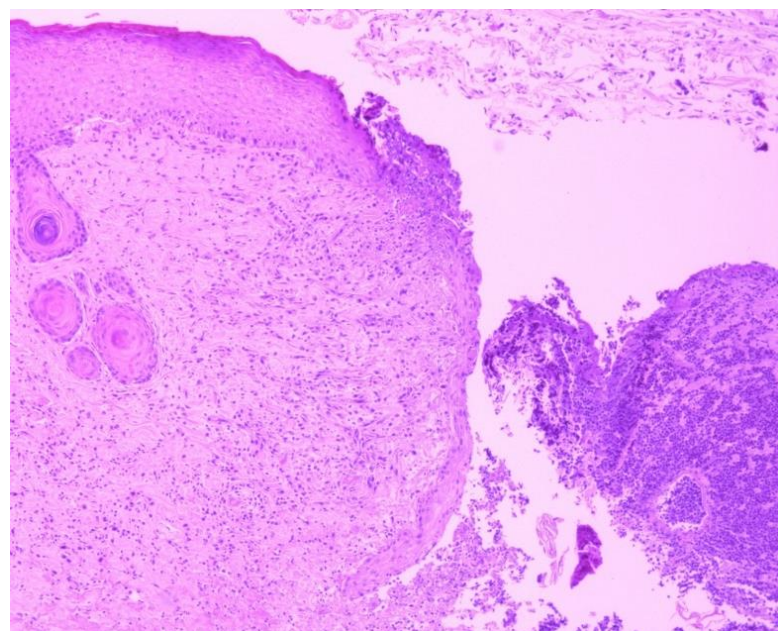
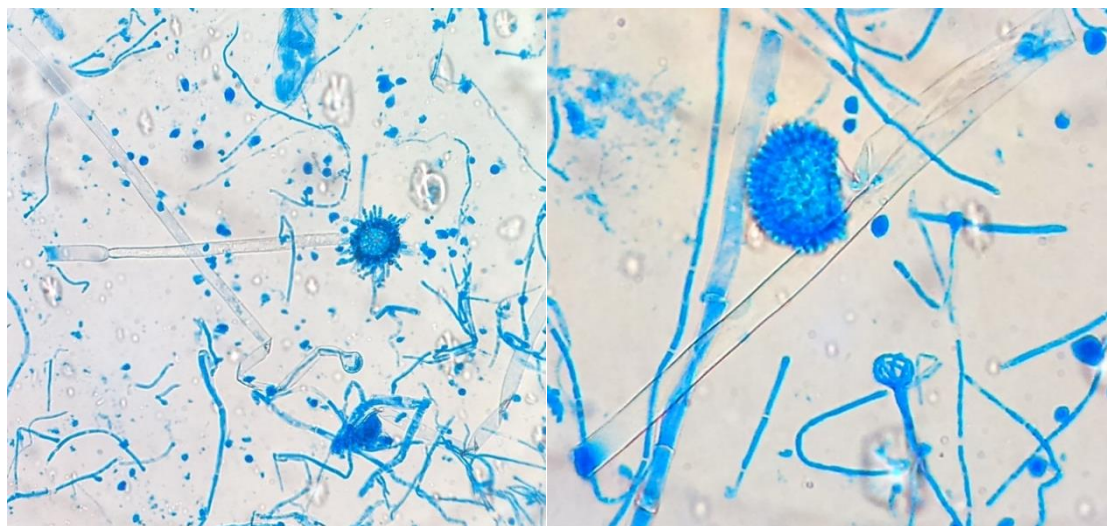


Figura 3. Histopatología de piel con tinción H-E (4x).



Figuras 4 y 5. Anverso y reverso del hongo cultivado en agar Sabouraud con cloranfenicol, respectivamente.



Figuras 6 y 7. Hongo del género *Aspergillus spp.* observado al microscopio óptico tras la tinción con azul algodón de lactofenoL (10X Y 40X, respectivamente).7

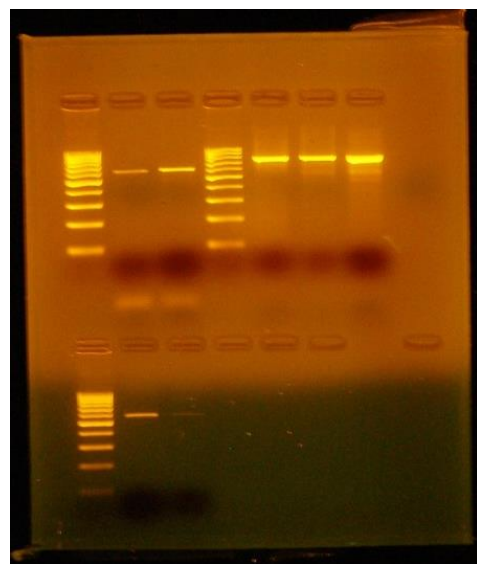


Figura 8. Visualización de las amplificaciones en gel de agarosa. Fila superior: Amplificación de la región ITS por duplicado y del fragmento del gen 18S rRNA por triplicado. Fila inferior: amplificación del fragmento del gen de la β -tubulina.

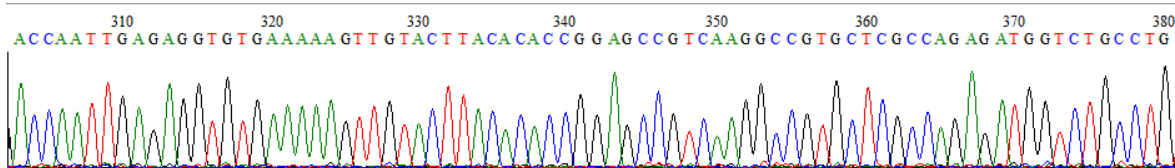


Figura 9. Fragmento secuenciado obtenido mediante el método de Sanger de la región del gen de la β -tubulina.

ANEXO II

Tabla 1: Cantidad de reactivos necesarios para la realización de la PCR.

	μl	Mezcla de amplificación
H₂O ultrapura tipo I	12	48
Buffer	2.5	10
Mg Cl₂ (100mM)	0.75	3
dNTPs (1.25mM cada uno)	4	16
Forward (20pmol/μL)	0.25	1
Reverse (20pmol/μL)	0.25	1
Taq polimerasa (5u/μL)	0.4	1.6